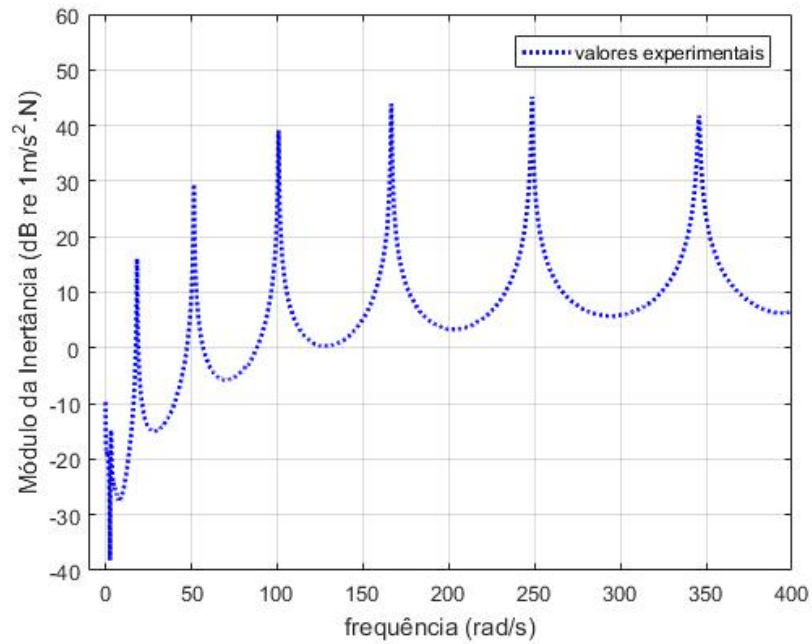


1 FOTOS

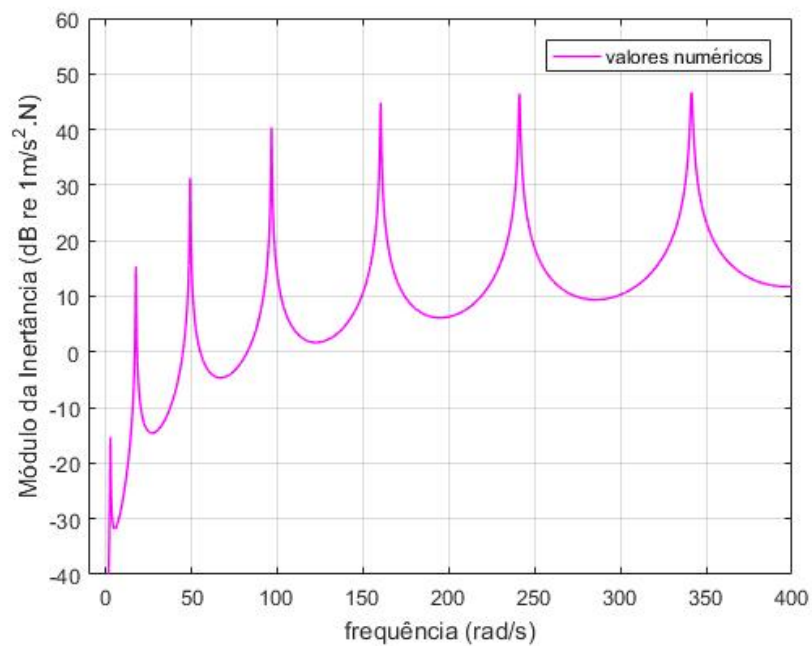
1.1 PROCEDIMENTO EXPERIMENTAL

FIGURA 1 – INERTÂNCIA EXPERIMENTAL



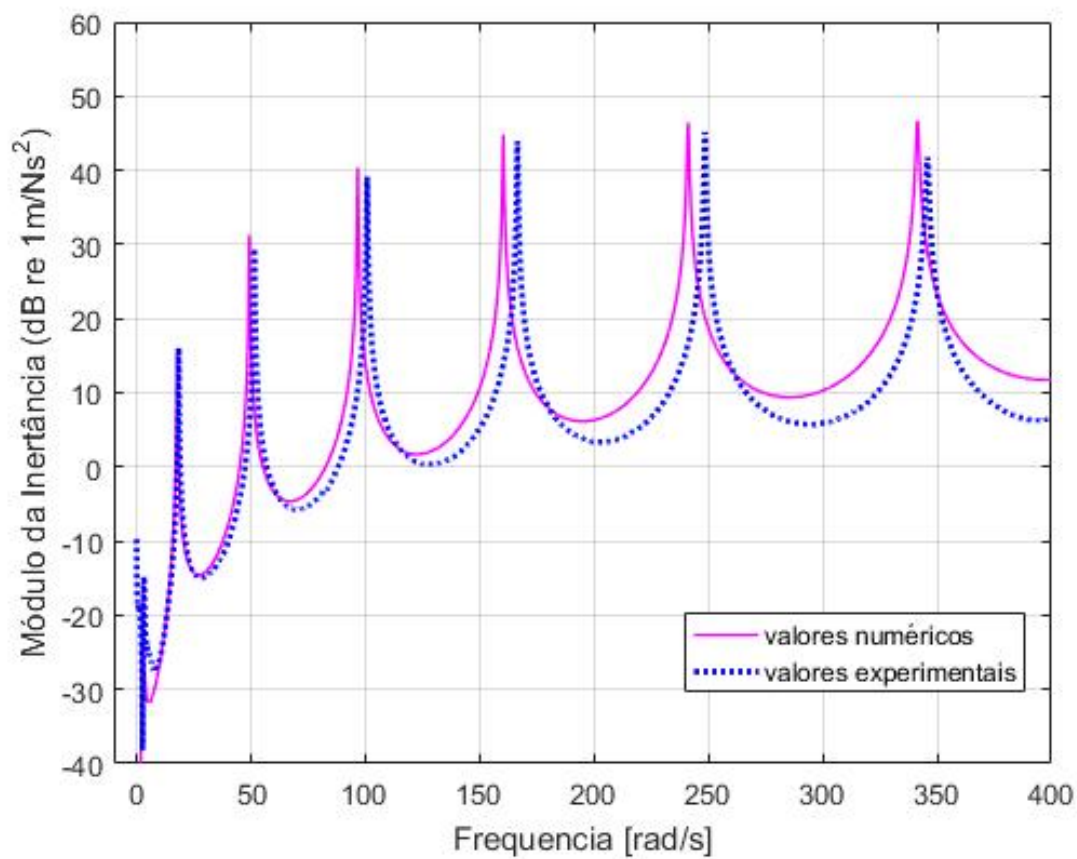
FONTE: Adaptado de Adaptado de MATLAB®

FIGURA 2 – INERTÂNCIA VIA MODELO NUMÉRICO



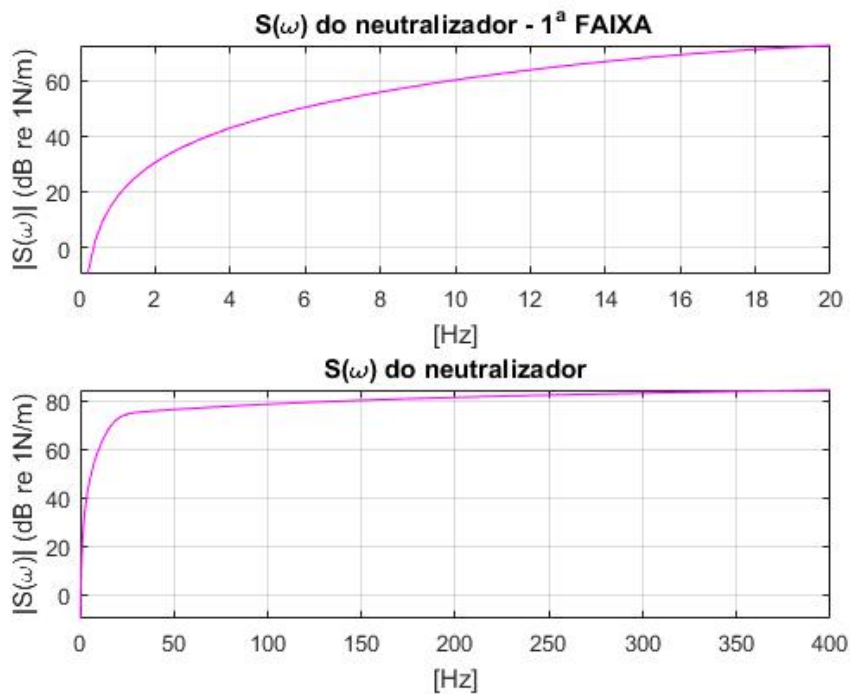
FONTE: Adaptado de MATLAB®

FIGURA 3 – COMPARAÇÃO ENTRE INERTÂNCIAS EXPERIMENTAL E NUMÉRICA



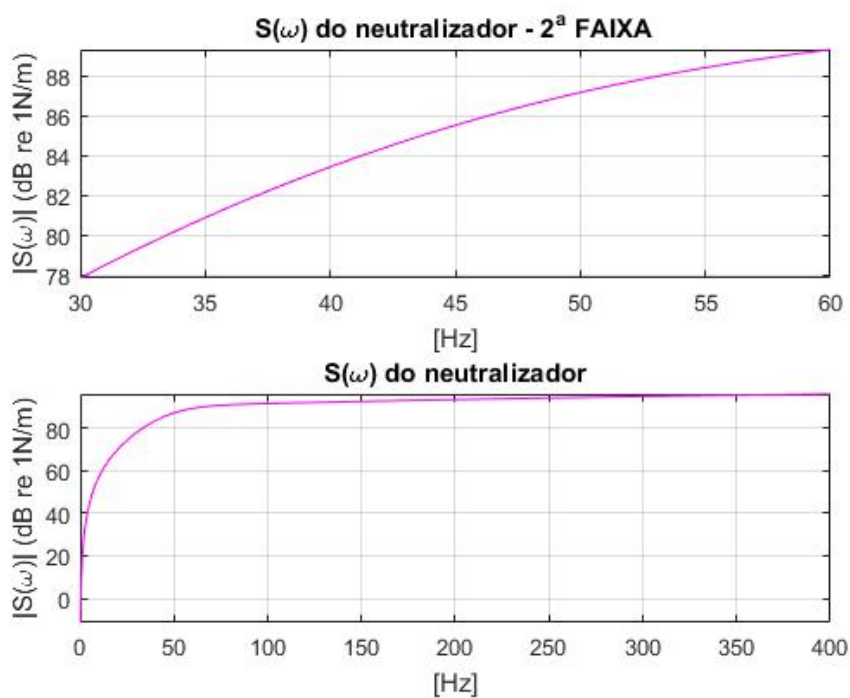
1.2 RIGIDEZ DINÂMICA DO NEUTRALIZADOR NAS FAIXAS DE FREQUÊNCIA ESTUDADAS

FIGURA 4 – 1ª FAIXA: RIGIDEZ DINÂMICA DO NEUTRALIZADOR



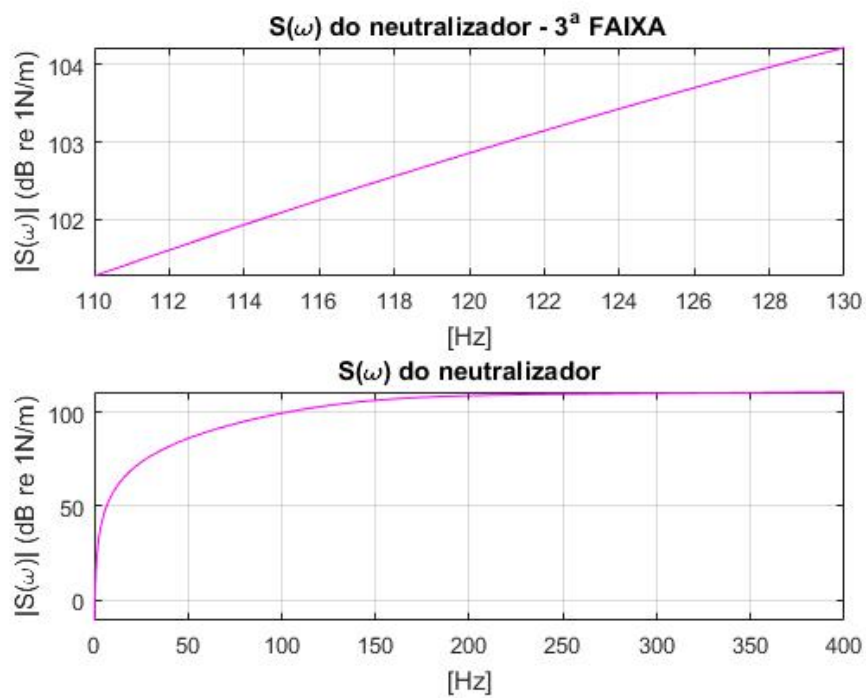
FONTE: Adaptado de MATLAB®

FIGURA 5 – 2ª FAIXA: RIGIDEZ DINÂMICA DO NEUTRALIZADOR



FONTE: Adaptado de MATLAB®

FIGURA 6 – 3ª FAIXA: RIGIDEZ DINÂMICA DO NEUTRALIZADOR



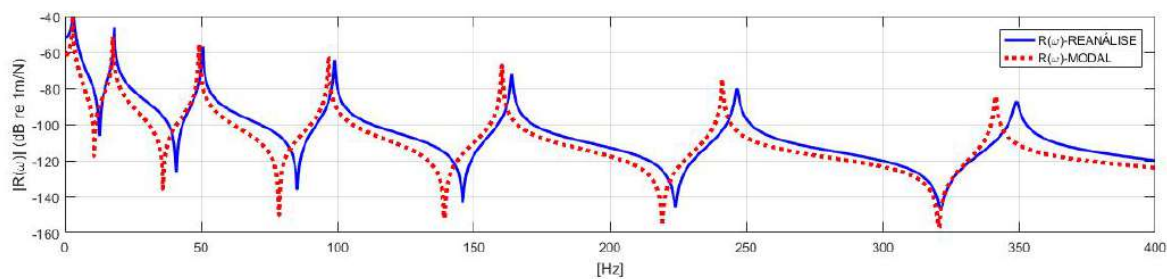
FONTE: Adaptado de MATLAB®

1.3 COMPARAÇÃO VIA FUNÇÃO RESPOSTA E FREQUÊNCIA DO SISTEMA PRIMÁRIO UTILIZANDO MÉTODO MODAL E REANÁLISE

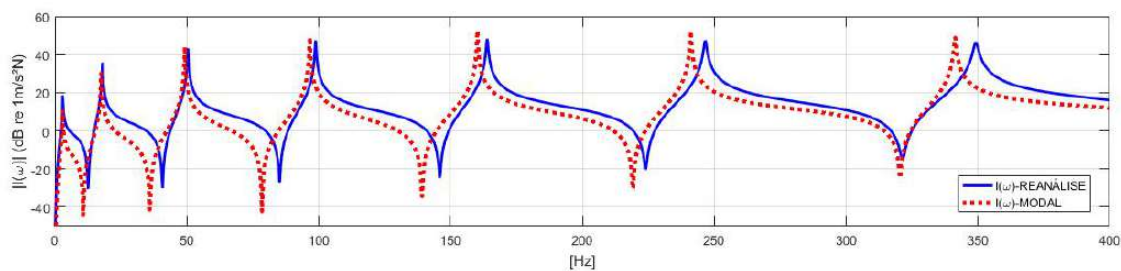
FIGURA 7 – SISTEMA PRIMÁRIO UTILIZADO NO MÉTODO MODAL

×
SISTEMA PRIMÁRIO UTILIZADO NOS MÉTODOS DE REANÁLISE

(a) $R(\omega)_{\text{primário-REANÁLISE}} \times R(\omega)_{\text{primário-MODAL}}$



(b) $I(\omega)_{\text{primário-REANÁLISE}} \times I(\omega)_{\text{primário-MODAL}}$



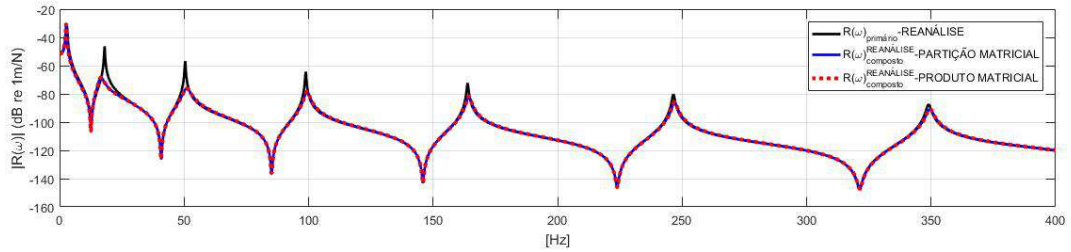
FONTE: Adaptado de LAVIBS-ND® e MATLAB®

1.4 SISTEMA COMPOSTO

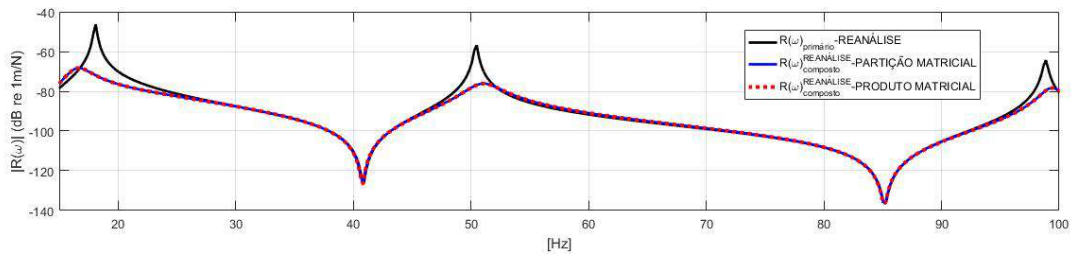
1.4.1 1ª faixa de frequência

FIGURA 8 – 1ª FAIXA: $R(\omega)$ VIA MÉTODOS DE REANÁLISE

(a) SISTEMA PRIMÁRIO E SISTEMA COMPOSTO (0 a 400 Hz)



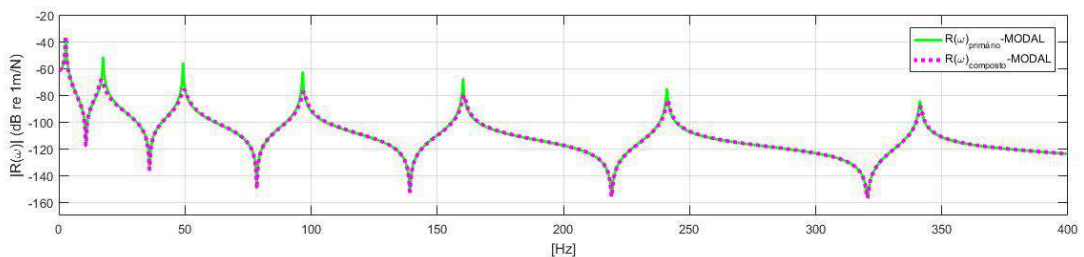
(b) SISTEMA PRIMÁRIO E SISTEMA COMPOSTO (15 a 100 Hz)



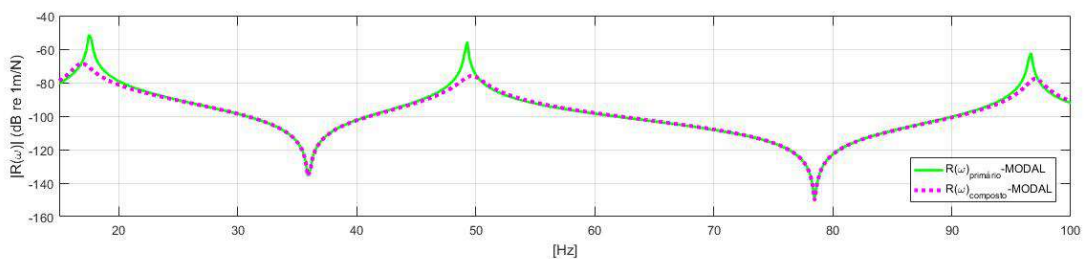
FONTE: Adaptado de MATLAB®

FIGURA 9 – 1ª FAIXA: $R(\omega)$ VIA MÉTODO MODAL

(a) SISTEMA PRIMÁRIO E SISTEMA COMPOSTO (0 a 400 Hz)



(b) SISTEMA PRIMÁRIO E SISTEMA COMPOSTO (15 a 100 Hz)



FONTE: Adaptado de LAVIBS-ND® e MATLAB®

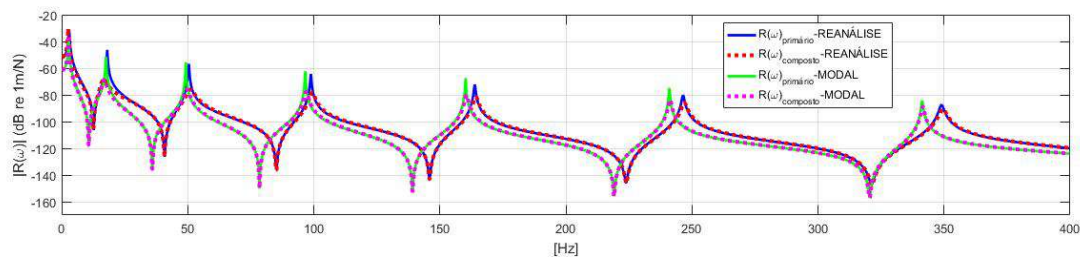
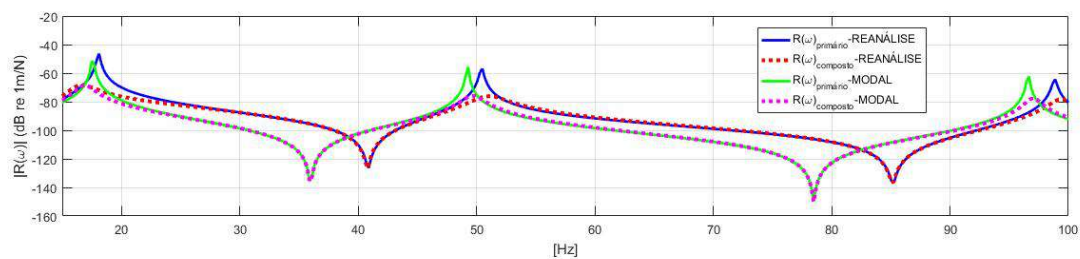
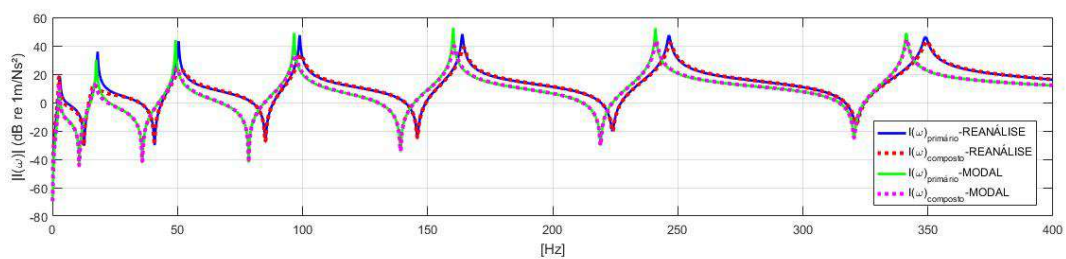
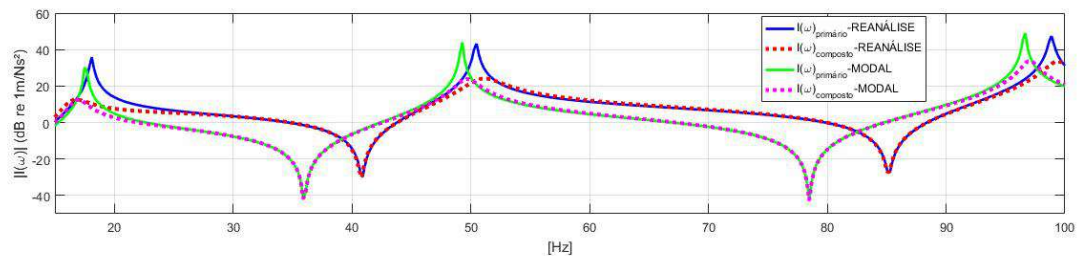
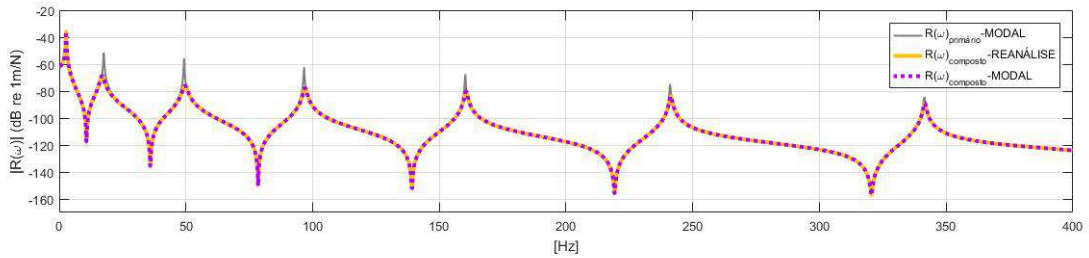
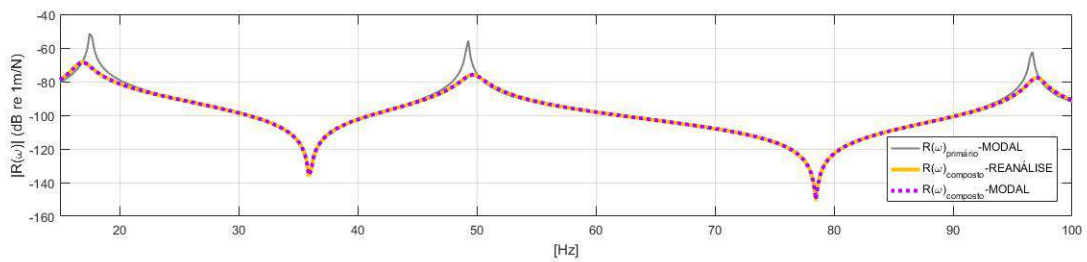
FIGURA 10 – 1ª FAIXA: $R(\omega)$ –MÉTODO MODAL E $R(\omega)$ –MÉTODOS DE REANÁLISE(a) $R(\omega)$ - 0 a 400 Hz(b) $R(\omega)$ - 15 a 100 HzFONTE: Adaptado de LAVIBS-ND[®] e MATLAB[®]FIGURA 11 – 1ª FAIXA: $I(\omega)$ –MÉTODO MODAL E $I(\omega)$ –MÉTODOS DE REANÁLISE(a) $I(\omega)$ - 0 a 400 Hz(b) $I(\omega)$ - 15 a 100 HzFONTE: Adaptado de LAVIBS-ND[®] e MATLAB[®]

FIGURA 12 – 1ª FAIXA: UTILIZANDO MESMO SISTEMA PRIMÁRIO USADO PELO SOFTWARE LAVIBS-ND®

(a) $R(\omega)$ - COMPARAÇÃO ENTRE MÉTODO MODAL E REANÁLISE (0 a 400 Hz)



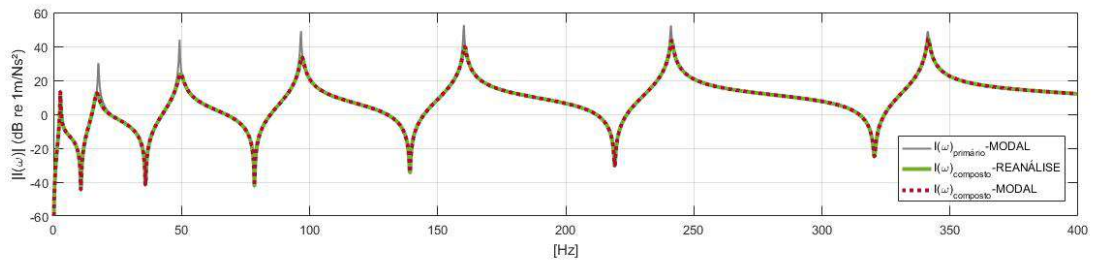
(b) $R(\omega)$ - COMPARAÇÃO ENTRE MÉTODO MODAL E REANÁLISE (15 a 100 Hz)



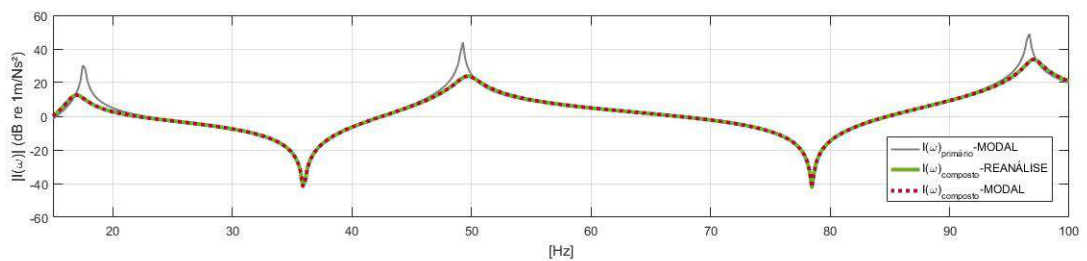
FONTE: Adaptado de MATLAB®

FIGURA 13 – 1ª FAIXA: UTILIZANDO MESMO SISTEMA PRIMÁRIO USADO PELO SOFTWARE LAVIBS-ND®

(a) $I(\omega)$ - COMPARAÇÃO ENTRE MÉTODO MODAL E REANÁLISE (0 a 400 Hz)



(b) $I(\omega)$ - COMPARAÇÃO ENTRE MÉTODO MODAL E REANÁLISE (15 a 100 Hz)

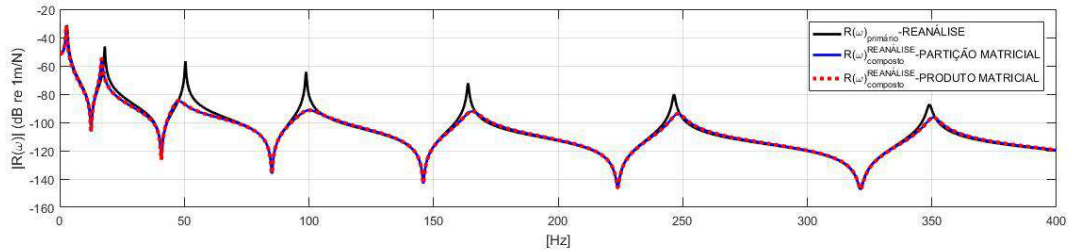


FONTE: Adaptado de MATLAB®

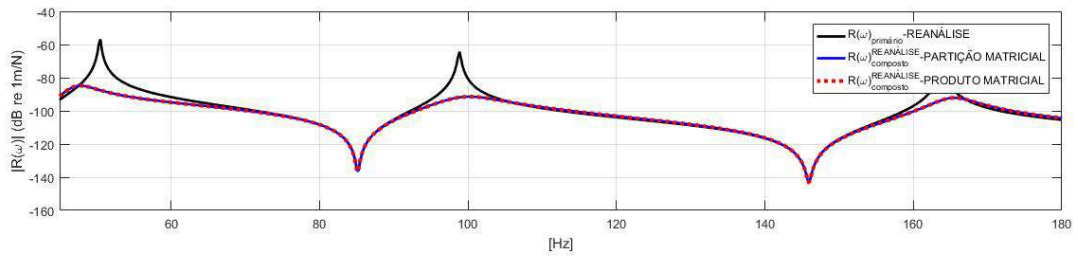
1.4.2 2ª faixa de frequência

FIGURA 14 – 2ª FAIXA: $R(\omega)$ VIA MÉTODOS DE REANÁLISE

(a) SISTEMA PRIMÁRIO E SISTEMA COMPOSTO (0 a 400 Hz)



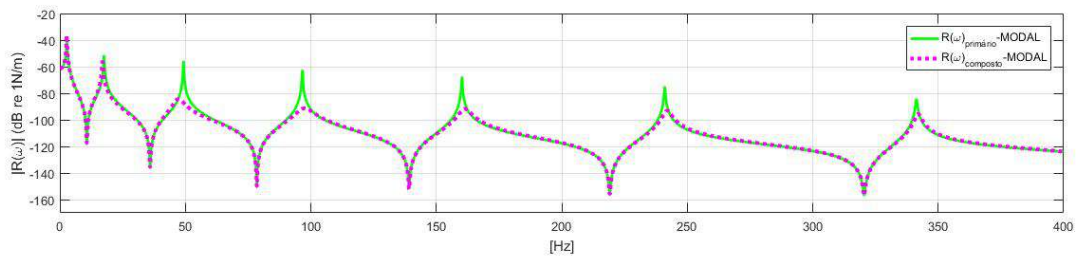
(b) SISTEMA PRIMÁRIO E SISTEMA COMPOSTO (45 a 180 Hz)



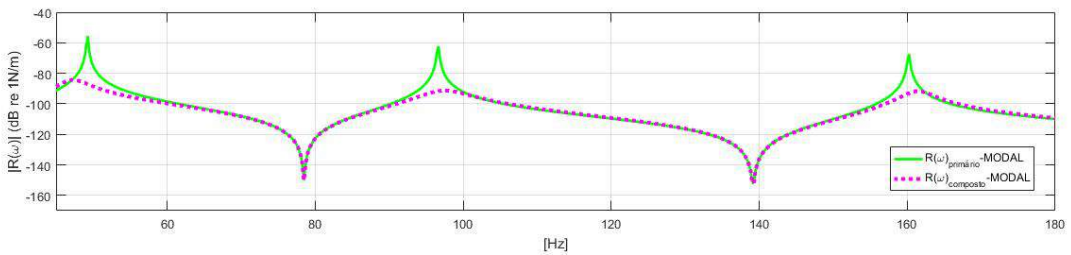
FONTE: Adaptado de MATLAB®

FIGURA 15 – 2ª FAIXA: $R(\omega)$ VIA MÉTODO MODAL

(a) SISTEMA PRIMÁRIO E SISTEMA COMPOSTO (0 a 400 Hz)



(b) SISTEMA PRIMÁRIO E SISTEMA COMPOSTO (45 a 180 Hz)



FONTE: Adaptado de LAVIBS-ND® e MATLAB®

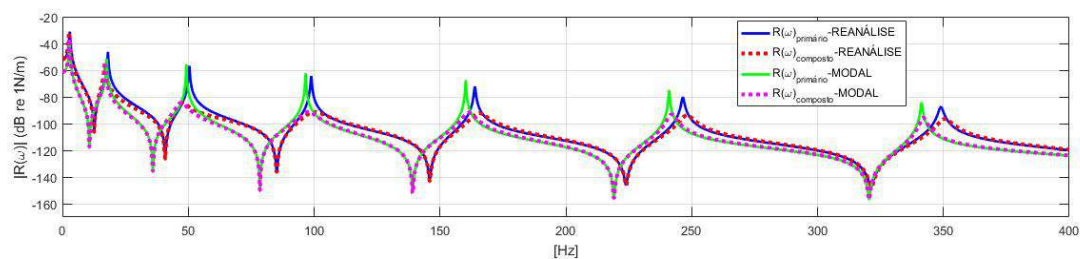
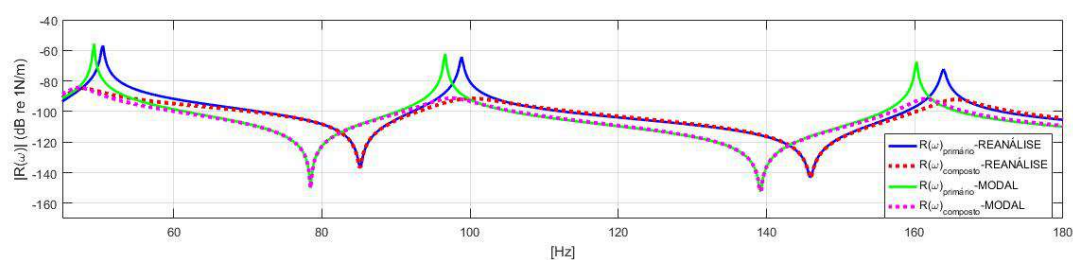
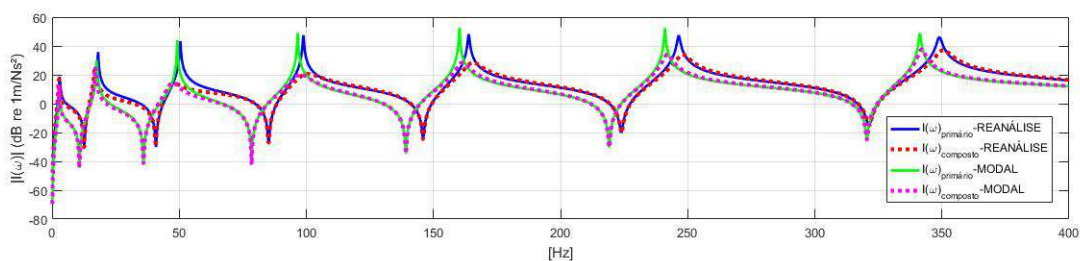
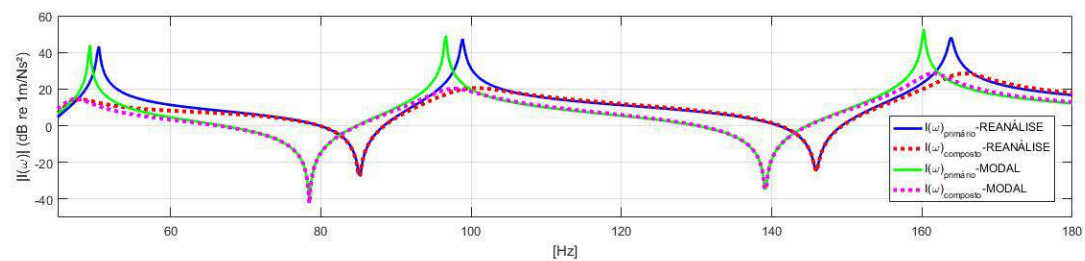
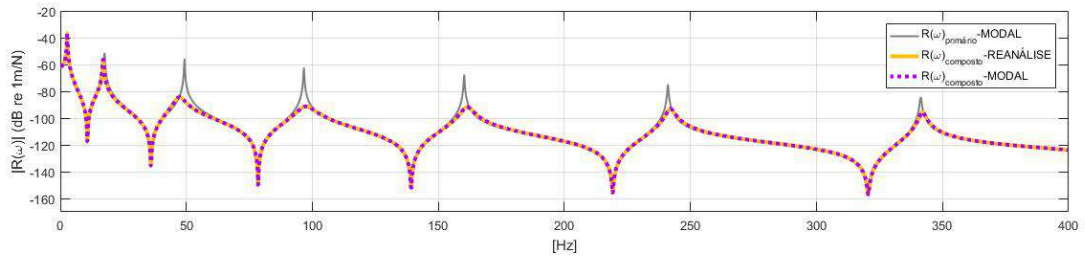
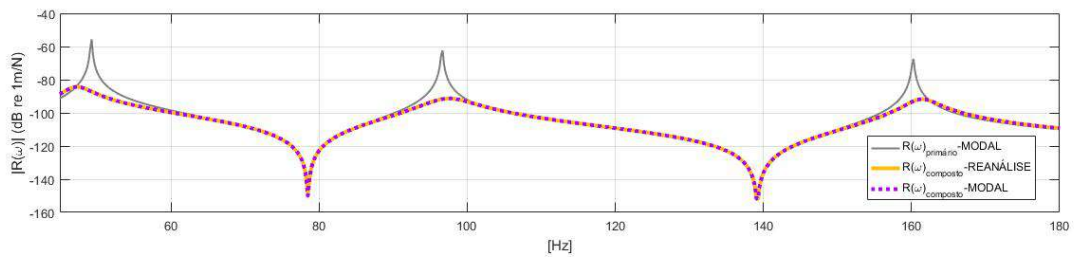
FIGURA 16 – 2ª FAIXA: $R(\omega)$ –MÉTODO MODAL E $R(\omega)$ –MÉTODOS DE REANÁLISE(a) $R(\omega)$ - 0 a 400 Hz(b) $R(\omega)$ - 45 a 180 HzFONTE: Adaptado de LAVIBS-ND[®] e MATLAB[®]FIGURA 17 – 2ª FAIXA: $I(\omega)$ –MÉTODO MODAL E $I(\omega)$ –MÉTODOS DE REANÁLISE(a) $R(\omega)$ - 0 a 400 Hz(b) $I(\omega)$ - 45 a 180 HzFONTE: Adaptado de LAVIBS-ND[®] e MATLAB[®]

FIGURA 18 – 2ª FAIXA: UTILIZANDO MESMO SISTEMA PRIMÁRIO USADO PELO SOFTWARE LAVIBS-ND®

(a) $R(\omega)$ - COMPARAÇÃO ENTRE MÉTODO MODAL E REANÁLISE (0 a 400) Hz



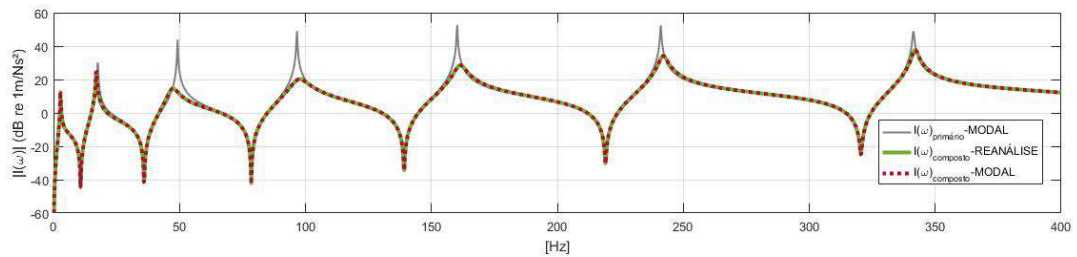
(b) $R(\omega)$ - COMPARAÇÃO ENTRE MÉTODO MODAL E REANÁLISE (45 a 180) Hz



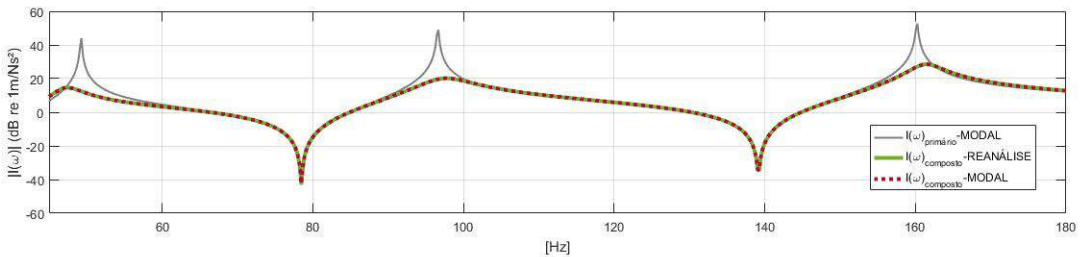
FONTE: Adaptado de MATLAB®

FIGURA 19 – 2ª FAIXA: UTILIZANDO MESMO SISTEMA PRIMÁRIO USADO PELO SOFTWARE LAVIBS-ND®

(a) $I(\omega)$ - COMPARAÇÃO ENTRE MÉTODO MODAL E REANÁLISE (0 a 400) Hz



(b) $I(\omega)$ - COMPARAÇÃO ENTRE MÉTODO MODAL E REANÁLISE (45 a 180) Hz

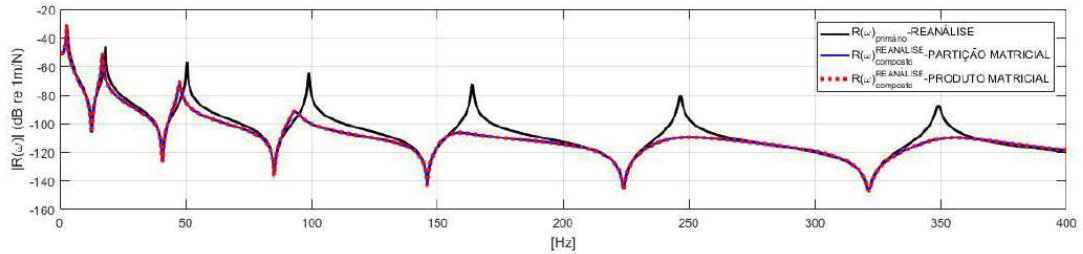


FONTE: Adaptado de MATLAB®

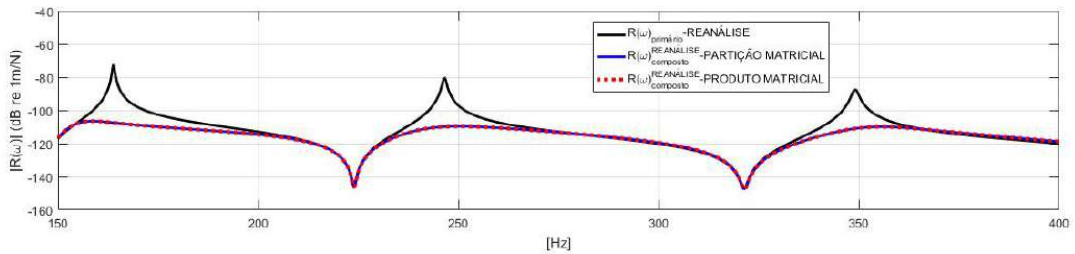
1.4.3 3ª faixa de frequência

FIGURA 20 – 3ª FAIXA: $R(\omega)$ VIA MÉTODOS DE REANÁLISE

(a) SISTEMA PRIMÁRIO E SISTEMA COMPOSTO (0 a 400 Hz)



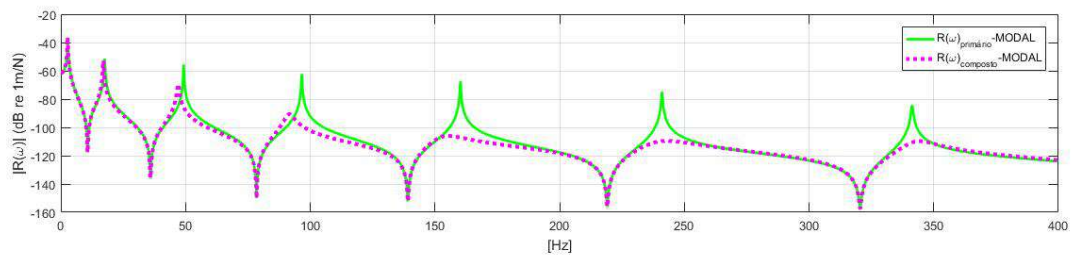
(b) SISTEMA PRIMÁRIO E SISTEMA COMPOSTO (150 a 350 Hz)



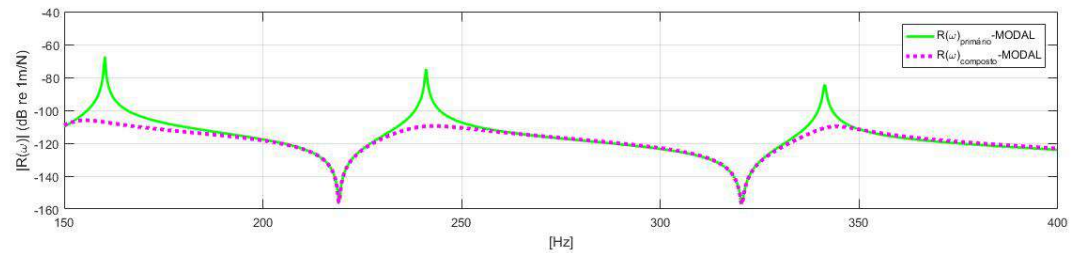
FONTE: Adaptado de MATLAB®

FIGURA 21 – 3ª FAIXA: $R(\omega)$ VIA MÉTODO MODAL

(a) SISTEMA PRIMÁRIO E SISTEMA COMPOSTO (0 a 400 Hz)



(b) SISTEMA PRIMÁRIO E SISTEMA COMPOSTO (150 a 350 Hz)



FONTE: Adaptado de LAVIBS-ND® e MATLAB®

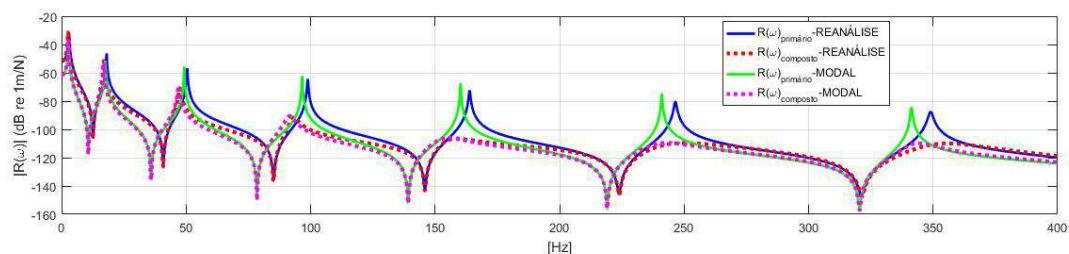
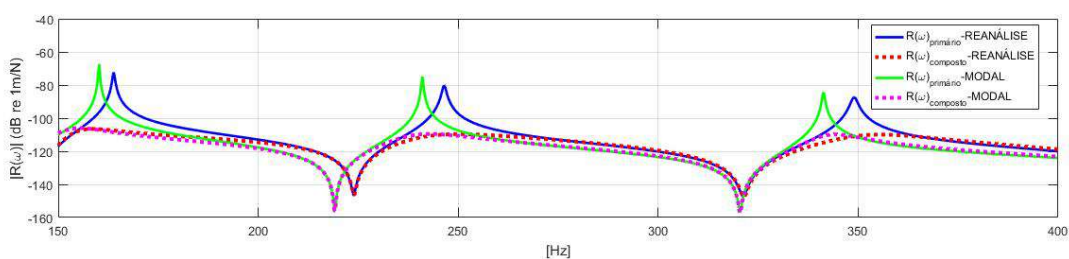
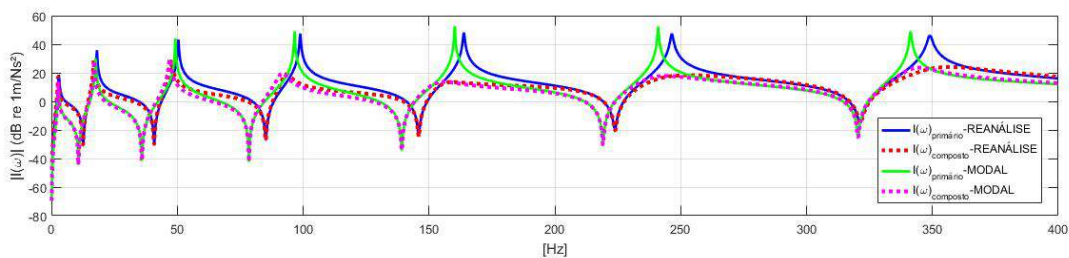
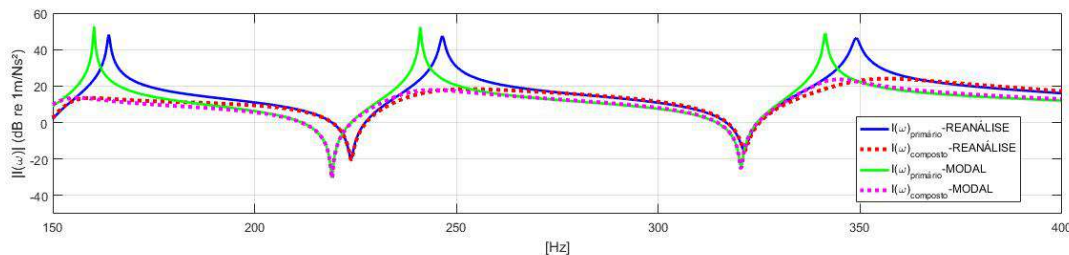
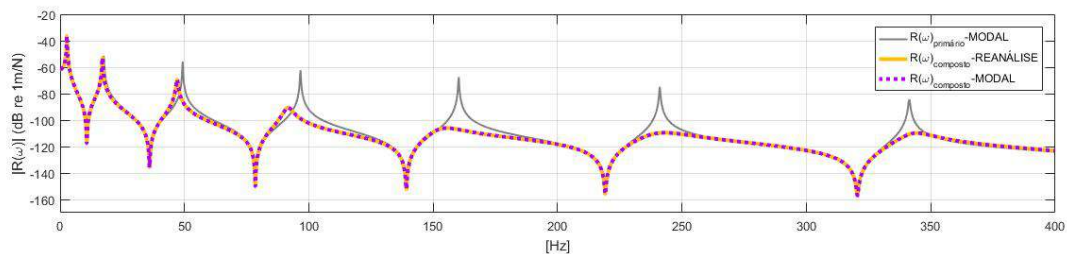
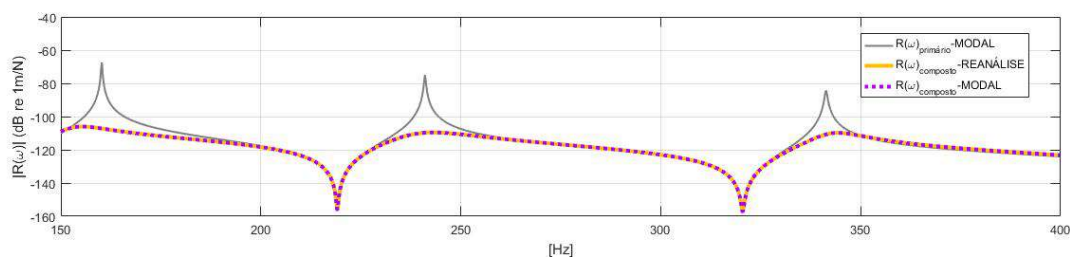
FIGURA 22 – 3ª FAIXA: $R(\omega)$ –MÉTODO MODAL E $R(\omega)$ –MÉTODOS DE REANÁLISE(a) $R(\omega)$ - 0 a 400 Hz(b) $R(\omega)$ - 150 a 350 HzFONTE: Adaptado de LAVIBS-ND[®] e MATLAB[®]FIGURA 23 – 3ª FAIXA: $I(\omega)$ –MÉTODO MODAL E $I(\omega)$ –MÉTODOS DE REANÁLISE(a) $I(\omega)$ - 0 a 400 Hz(b) $I(\omega)$ - 150 a 350 HzFONTE: Adaptado de LAVIBS-ND[®] e MATLAB[®]

FIGURA 24 – 3ª FAIXA: UTILIZANDO MESMO SISTEMA PRIMÁRIO USADO PELO SOFTWARE LAVIBS-ND®

(a) $R(\omega)$ - COMPARAÇÃO ENTRE MÉTODO MODAL E REANÁLISE 0 a 400 Hz



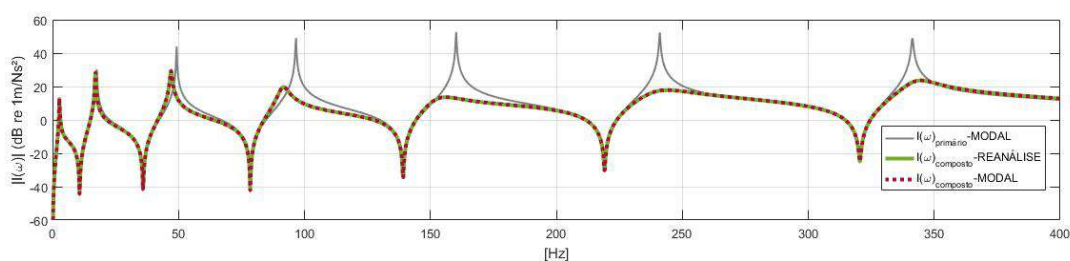
(b) $R(\omega)$ - COMPARAÇÃO ENTRE MÉTODO MODAL E REANÁLISE (150 a 350 Hz)



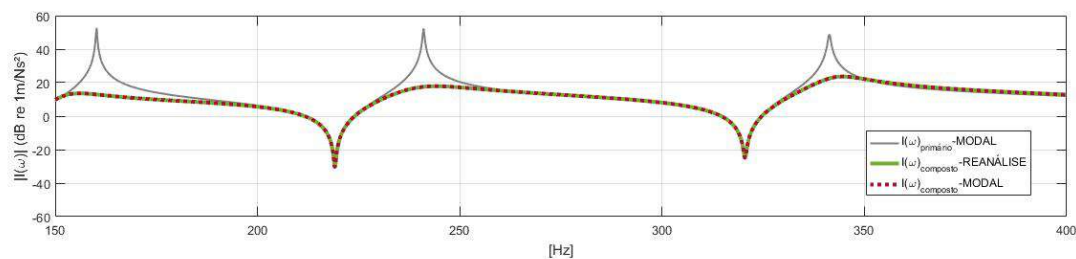
FONTE: Adaptado de MATLAB®

FIGURA 25 – 3ª FAIXA: UTILIZANDO MESMO SISTEMA PRIMÁRIO USADO PELO SOFTWARE LAVIBS-ND®

(a) $I(\omega)$ - COMPARAÇÃO ENTRE MÉTODO MODAL E REANÁLISE (0 a 400 Hz)



(b) $I(\omega)$ - COMPARAÇÃO ENTRE MÉTODO MODAL E REANÁLISE (150 a 350 Hz)



FONTE: Adaptado de Adaptado de MATLAB®